

M - 36

ОБЪЕДИНЕННЫЙ  
ИНСТИТУТ  
ЯДЕРНЫХ  
ИССЛЕДОВАНИЙ  
ДУБНА



92/2-79

15/1-79  
P2 - 11913

В.Г.Маханьков, Г.Куммер, А.Б.Швачка

ИССЛЕДОВАНИЕ ВЗАИМОДЕЙСТВИЯ ОДНО-  
И ДВУМЕРНЫХ КЛАССИЧЕСКИХ  $Q$ -СОЛИТОНОВ

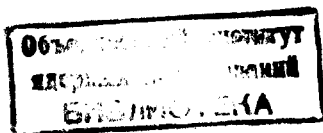
**1978**

P2 - 11913

В.Г.Маханьков, Г.Куммер, А.Б.Швачка

ИССЛЕДОВАНИЕ ВЗАИМОДЕЙСТВИЯ ОДНО-  
И ДВУМЕРНЫХ КЛАССИЧЕСКИХ  $Q$ -СОЛИТОНОВ

*Направлено в "Physica Scripta"*



<p>Маханьков В.Г. и др.</p> <p>Исследование взаимодействия одно- и двумерных классических <math>Q</math>-солитонов</p> <p>С помощью ЭВМ исследовано взаимодействие одномерных <math>(x, t)</math> и двумерных "заряженных" <math>(x, y, t)</math> <math>Q</math>-солитонов в рамках релятивистски-инвариантного уравнения Клейна-Гордона с насыщением нелинейности.</p> <p>В результате исследования лобовых столкновений солитонов найдена область существования устойчивых решений.</p> <p>Обнаружено существование долгоживущих связанных состояний двух солитонов и найдена область значений параметров, в которой солитоны взаимодействуют упруго. Показано, что в результате столкновения в области неустойчивости солитоны могут распадаться.</p> <p>Работа выполнена в Лаборатории вычислительной техники и автоматизации ОИЯИ.</p> <p>Препринт Объединенного института ядерных исследований. Дубна 1978</p>	<p>P2 - 11913</p>
<p>Makhan'kov V.G., Kummer G., Shvachka A.B.</p> <p>Investigation of Interactions of One- and Two-Space-Dimensional Classical <math>Q</math> Solitons</p> <p>Interactions of one- and two-space-dimensional classical "charged" solitons (<math>U(1)</math> symmetry) have been investigated via computer in the framework of the Lorentz-invariant Klein-Gordon equation with the saturable nonlinearity. As a result of the computer experiments four qualitatively different types of soliton interaction have been found: 1) elastic and quasi-elastic interaction; 2) decay of solitons after the interaction; 3) decay of solitons through the resonance; 4) bound state of two <math>Q</math> solitons.</p> <p>The investigation has been performed at the Laboratory of Computing Techniques and Automation, JINR.</p> <p>Preprint of the Joint Institute for Nuclear Research. Dубна 1978</p>	<p>P2 - 11913</p>

## I. Введение

В последние годы внимание специалистов, работающих в области теории поля и элементарных частиц, приковано к моделям, допускающим солитонные решения. Достаточно упомянуть лишь о некоторых международных научных форумах <sup>/1/</sup> и обзорах <sup>/2/</sup>, посвященных этой проблеме.

Это неудивительно, поскольку солитоны – существенно нелинейные протяженные объекты – обладают интересными и весьма специфическими свойствами, как то: сохраняющимися зарядами, не связанными с симметрией лагранжиана (топологическими), возможностью построения относительно легких объектов из очень тяжелых составляющих (большой дефект массы – "невыветание кварков") и многими другими.

Мы не будем здесь более подробно останавливаться на свойствах солитонов, достаточно полно изложенных в упомянутых выше обзорах <sup>/2/</sup>, упомянем лишь, что в настоящее время наиболее полно в применении к теории элементарных частиц исследованы статические свойства солитонов. Мы имеем в виду солитоны в четырехмерном мире Минковского. Отметим, что устойчивые нетопологические солитонные решения существуют только в теориях с внутренней симметрией.

Естественно, что исследования проводились, начиная с наиболее простых моделей, например,  $Q$  – солитоны в  $\phi^4$ -теории ( $U(1)$  – симметрия); далее включались все более высокие симметрии (часть из которых могла быть спонтанно нарушена), т.е. модели  $SU(2) \otimes SU(2)$ ,  $SU(3) \otimes SU(3)$ , а также  $SU(3) \otimes SU(3) \otimes SU(3)$ .

Интересно, что в достаточно сложной модели при надлежащем выборе параметров авторам <sup>/3/</sup> удалось описать с удовлетворительной

точностью по отношению к экспериментальным данным такие свойства нуклонов, как отношение магнитных моментов протона и нейтрона, отношение констант  $\beta$  - распада (аксиальной к векторной) и среднеквадратичный радиус нуклона.

Если статические свойства солитонов еще поддаются (и с успехом) аналитическому исследованию даже в рамках сложных моделей, то взаимодействие неодномерных солитонов удастся пока исследовать лишь с помощью компьютера. Здесь также естественным является путь исследования от простых моделей к более сложным.

Целью настоящей работы является изучение динамики взаимодействия неодномерных устойчивых солитонов в рамках простой из числа возможных моделей с внутренней  $U(1)$  симметрией: имеется в виду модель теории скалярного поля с насыщающейся нелинейностью, лагранжиан которой имеет вид

$$\mathcal{L} = \phi_t \phi_t^* - \phi_x \phi_x^* - \phi_y \phi_y^* - \ln(1 + \phi \phi^*). \quad (I)$$

Мы отдаем себе отчет в том, что данная модель является грубой, более того, она ненормируема, а это обстоятельство вызовет сложности при квантовании рассматриваемых ниже объектов, однако, поскольку мы работаем в рамках классической теории, это обстоятельство не является препятствием. Качественные характеристики изучаемого взаимодействия безусловно представляют интерес с точки зрения дальнейшего понимания более реалистичных и сложных моделей. План статьи следующий: в п.2 мы исследуем свойства плоских  $Q$ -солитонов в рамках модели (I) и их взаимодействие; в п.3 описаны особенности взаимодействия солитонов в трехмерном пространстве Минковского. Методика расчетов обсуждается в п.4.

## 2. Одномерный случай

Итак, мы ищем солитоноподобное решение задачи

$$(\partial_t^2 - \partial_x^2) \phi + \phi - \phi \cdot \frac{1 + |\phi|^2}{1 + |\phi|^2} = 0, \quad (2)$$

$$\frac{\partial \phi}{\partial x} \Big|_{x=0} = 0, \quad \phi(\infty, t) = 0$$

с лагранжианом

$$\mathcal{L} = \phi_t \phi_t^* - \phi_x \phi_x^* - \ln(1 + \phi \phi^*) \quad (3)$$

и гамильтонианом

$$\mathcal{H} = \phi_t \phi_t^* + \phi_x \phi_x^* + \ln(1 + \phi \phi^*). \quad (4)$$

$$\text{Функция} \quad \phi(x, t) = \psi(x) e^{i\mu t} \quad (5)$$

с  $\mu = \text{const}$  минимизирует функционал энергии (4) в системе покоя солитона. Поэтому вместо задачи (2) получаем граничную задачу

$$\psi_{xx} + \mu^2 \psi - \frac{\psi}{1 + \psi^2} = 0; \quad \psi_x(0) = 0, \quad \psi(\infty) = 0 \quad (6)$$

с функцией Лагранжа

$$\mathcal{L} = -\frac{1}{2} [\psi_x^2 - \mu^2 \psi^2 + \ln(1 + \psi^2)] \quad (7)$$

и Гамильтона

$$\mathcal{H} = \frac{1}{2} [\psi_x^2 + \mu^2 \psi^2 - \ln(1 + \psi^2)]. \quad (8)$$

На рис. 1 изображен потенциал, в котором движется точечная фиктивная частица единичной массы ( $\psi$  - смещение,  $x$  - время)

$$U(\psi) = \frac{1}{2} [\mu^2 \psi^2 - \ln(1 + \psi^2)] \quad (9)$$

при  $\mu = 0.95$  и  $\mu = 0.71$ .

Стационарные точки потенциала (9) определяются из условия

$$\frac{dU}{d\psi} = \psi \left[ \mu^2 - \frac{1}{1 + \psi^2} \right] = 0. \quad (10)$$

Отсюда следует, что

$$\psi_1 = 0, \quad \psi_{2,3} = \pm \sqrt{\frac{1 - \mu^2}{\mu^2}}$$

являются стационарными точками, причем

$$U(\psi_1) > 0, \quad U(\psi_2) = U(\psi_3) = \frac{1}{2} [1 - \mu^2 - \ln(\frac{1}{\mu^2})].$$

Так как уравнение (6) описывает "консервативную" систему, то энергия фиктивной частицы, движущейся в потенциале  $U(\psi)$

$$E = \frac{\psi_x^2}{2} + U(\psi), \quad \frac{dE}{dx} = 0 \quad (II)$$

сохраняется. Из (II) найдем

$$\psi_x = \sqrt{2E + \ln(1 + \psi^2) - \mu^2 \psi^2}. \quad (12)$$

На рис. 2 изображены траектории "консервативной" системы в фазовой плоскости  $(\psi, \psi_x)$  для энергии  $E = 0$  и  $E = 3$  при  $\mu = 0.2$ .

Решения задачи (6) проходят через точку  $(\psi = 0, \psi_x = 0)$ , поэтому, как следует из (II),  $E = 0$ .

Из соотношения (II) при  $E = 0$  и в приближении

$$\ln(1 + \psi^2) \sim \psi^2 - \frac{\psi^4}{2}, \quad (13)$$

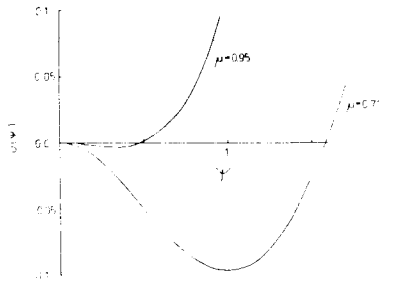


Рис. 1. Потенциал  $U(\psi)$  (см. (9)) при  $\mu = 0.95$  и  $\mu = 0.7$ .

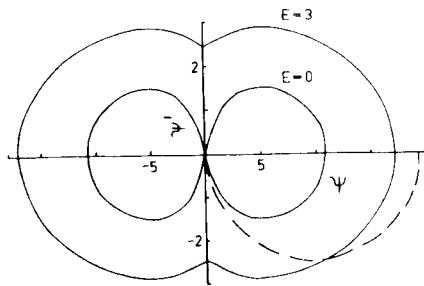


Рис. 2. Траектории "консервативной" системы (6) в фазовой плоскости  $(\psi, \psi')$  при  $\mu = 0.2$ . Штриховой линией показана траектория "диссипативной" системы (18).

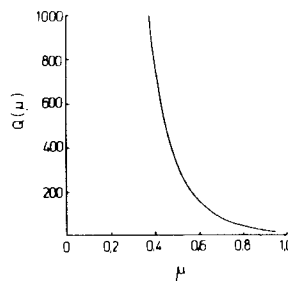


Рис. 3. График функции  $Q(\mu)$

справедливым при  $|\psi| \ll 1$ , мы получаем хорошо известное решение  $\phi_2^4$ -теории:

$$\psi(x) \approx \frac{\sqrt{2(1-\mu^2)}}{\cosh(\sqrt{1-\mu^2} \cdot x)}. \quad (14)$$

Численные расчеты по исследованию взаимодействия двух одномерных солитонов вида (14) показали, что имеет место практически упругое взаимодействие солитонов в лобовых столкновениях при  $1 > \mu > 0.9$  и скоростях солитонов  $0.1 \leq v < 0.9$ . Расчет показал, что при  $0.9 > \mu > 0.7$  наблюдается расщепление солитонов до столкновения, что связано с их неустойчивостью. Это указывает на значительное сокращение области устойчивости в модели (2) в сравнении с  $\phi_2^4$ , где  $1 > \mu \geq \frac{1}{2} \sqrt{12e}$ .

### 3. Двумерный случай

Рассмотрим далее следующую задачу Коши

$$(\partial_t^2 - \partial_x^2 - \partial_y^2) \phi + \phi - \phi \frac{|\phi|^2}{1+|\phi|^2} = 0, \quad (15)$$

$$\frac{\partial \phi}{\partial x} \Big|_{x=0} = 0, \quad \frac{\partial \phi}{\partial y} \Big|_{y=0} = 0, \quad \phi(\infty, \infty, t) = 0$$

с лагранжианом (I) и гамильтонианом

$$\mathcal{H} = \phi_t \phi_t^* + \phi_x \phi_x^* + \phi_y \phi_y^* + \ln(1 + \phi \phi^*). \quad (16)$$

Пусть

$$\phi(x, y, t) = \psi(r) e^{i\mu t}, \quad r = \sqrt{x^2 + y^2}. \quad (17)$$

Тогда из (15) получим граничную задачу

$$\psi_{rr} + \frac{1}{r} \psi_r + \mu^2 \psi - \frac{\psi}{1+\psi^2} = 0 \quad (18)$$

$$\psi_r(0) = 0, \quad \psi(\infty) = 0.$$

Задача (18) без учета члена  $\frac{1}{r} \psi_r$  совпадает с задачей (6), поэтому рассуждения предыдущего параграфа относительно траекторий в фазовой плоскости  $(\psi, \psi_r)$  действительны и для задачи (18) без члена  $\frac{1}{r} \psi_r$  (см. рис. 2).

В рамках модели (18) энергия фиктивной частицы (II) в силу наличия "диссипативного" члена  $\frac{1}{r} \psi_r$  не сохраняется с ростом  $r$ . Из (II) и (18) следует, что

$$\frac{dE}{dr} = \psi_r \left[ \psi_{rr} + \mu^2 \psi - \frac{\psi}{1+\psi^2} \right] = -\frac{1}{r} \psi_r^2 < 0. \quad (19)$$

Отсюда видно, что любая траектория в фазовой плоскости  $(\psi, \psi_r)$ , начинаясь на оси  $\psi (\psi_r = 0)$ , пересечет кривые постоянной энергии

и при  $r \rightarrow \infty$  закончится в одной из трех точек ( $\psi_1 = 0, \psi_r = 0$ ), ( $\psi_{2,3} = \pm \sqrt{1-\mu^2}, \psi_r = 0$ ). Для нас представляют интерес только траектории, заканчивающиеся в точке ( $\psi = 0, \psi_r = 0$ ) (см. рис. 2, штриховая линия), которые соответствуют безусловным решениям (18), убывающим при  $r \rightarrow \infty$ .

Как известно [4], устойчивое решение задачи (15) существует в области

$$\frac{\mu}{Q} \frac{dQ}{d\mu} < 0, \quad (20)$$

где "заряд"  $Q$  вычисляется по формуле

$$Q = \mu \int \psi^2 dx dy. \quad (21)$$

Для определения области устойчивости солитоноподобных решений нами была исследована зависимость  $Q(\mu)$ . График этой функции представлен на рис. 3, из которого видно, что  $Q(\mu)$  монотонно убывает с ростом  $\mu$ , выходя на плато при  $\mu \rightarrow 1$ .

Действительно, как отмечалось в [2e], уравнение (18) при  $\mu \rightarrow 1$  переходит в уравнение Клейна-Гордона с кубической нелинейностью (КГЗ):

$$\Delta \psi - (1 - \mu^2) \psi + \psi^3 = 0. \quad (22)$$

Поэтому, проделав масштабное преобразование  $\tilde{r} = \alpha r, \tilde{\psi} = \alpha^D \psi, \alpha^2 = 1 - \mu^2$ , легко получим  $Q(\mu) \propto \alpha^{2-D}$  ( $D$  - размерность пространства), откуда при  $D=2$  имеем  $Q \rightarrow const$  в пределе  $\mu \rightarrow 1$ . Это означает, что в области  $\mu \rightarrow 1$  можно ожидать проявления неустойчивости [2e], что и было зафиксировано в численном эксперименте: полученные решения в области  $\mu \geq 0.98$  оказались неустойчивыми.

В области  $\mu < 0.2$  величина  $Q(\mu)$  быстро растет при  $\mu \rightarrow 0$ . Динамика солитонов здесь не исследовалась.

Нами был разработан алгоритм и создан пакет программ на ФОРТРАНе для исследования с помощью ЭВМ взаимодействия двух двумерных солитонов в лобовых столкновениях. При этом скорости встречного движения солитонов были равны  $v_1 = -v_2 = v$ , а величина  $v$  изменялась в пределах от 0.1 до 0.9 с шагом 0.05. Параметр  $\mu$  варьировался в пределах от 0.2 до 0.99.

Результаты этих расчетов приведены на рис. 4-15. Как и следовало ожидать, в ультрарелятивистской области энергий  $v \rightarrow 1$

Рис. 4. Упругое взаимодействие  $Q$  - солитонов при  $v = 0.9, \mu = 0.7$ . Картины линий уровня соответствуют плоским сечениям, приведенным на рис. 5.  $H = Q/Q_{max}$ , где  $Q_{max} = 69.4 = Q(t=42)$ .

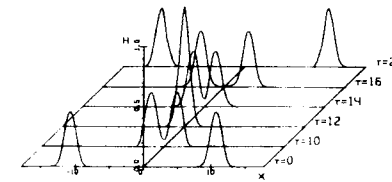
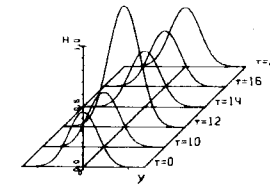
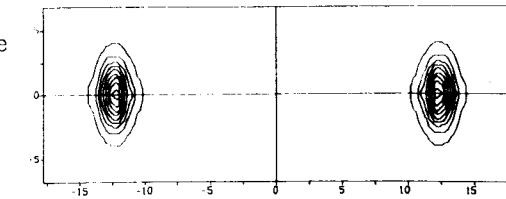
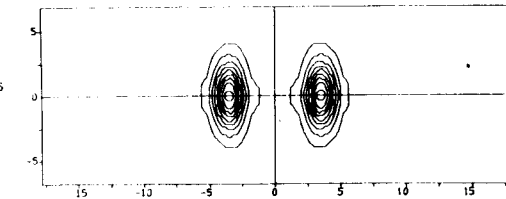
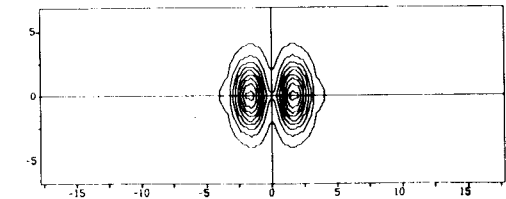
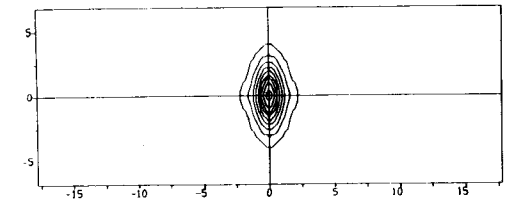
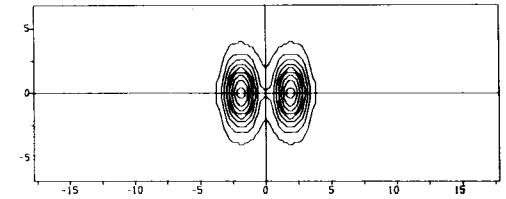
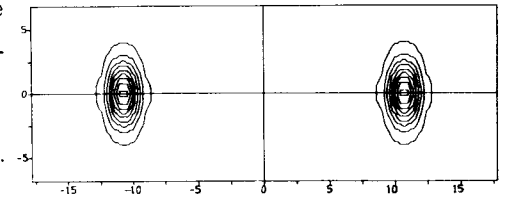


Рис. 5. Упругое взаимодействие  $Q$  - солитонов при  $v = 0.9, \mu = 0.7$ .

исследованные нами объекты ведут себя как "истинные" солитоны, взаимодействуя упруго\*) и приобретая сдвиг в относительном положении. Однако при средних и, тем более, низких энергиях положение в корне меняется. В зависимости от величины заряда солитонов (или, что то же, от  $\mu$ ) и их скорости мы имеем широкий спектр нетривиальных последствий их взаимодействия: образование различных связанных состояний солитонов (типа бионов в одномерном пространстве /6/); распад солитонов после взаимодействия на конститuenty ( $\mu \approx 0.95$ ); распад солитонов, происходящий через относительно короткоживущее связанное состояние солитонов - резонанс ( $\mu \approx 0.9$ ). Последние два вида взаимодействий были неизвестны ранее в двумерном мире.

Итак, мы имеем четыре качественно различных типа взаимодействий солитонов даже в рамках исследованной нами простейшей модели  $U(I)$ :

- I) упругое и слабонеупругое взаимодействие (рис.4-7);
- II) распад провзаимодействовавших солитонов (рис.8,9);
- III) распад через резонанс (рис.10,11);
- IV) образование связанного состояния (рис.12-14).

Наиболее интересными, с нашей точки зрения, являются взаимодействия II-IV типов, поскольку взаимодействие I типа хорошо прослеживалось даже в соударениях неустойчивых пульсонов, изученных авторами ранее /7/. Коллапс солитонов в рамках задачи (18), в отличие от уравнения КГЗ /7/, обнаружить не удалось, хотя и наблюдается тенденция к стягиванию солитонов, формирующихся в процессе взаимодействия при  $\mu \sim 0.2$ . Это объясняется тем, что при малых  $\mu$   $|\psi(x,y,0)| \gg 1$  (см.рис.3), поэтому уравнение (18) переходит в линейное волновое уравнение, решения которого в силу дисперсии имеют тенденцию к расплыванию.

Отметим, что взаимодействия II и III типов проявляются лишь вблизи границы потери устойчивости  $\mu \approx 0.9$ , где каждый солитон ещё устойчив по отношению к малым возмущениям.

Области существования всех указанных выше типов взаимодействий, обнаруженные нами в численных экспериментах, представлены на рис.15 на плоскости переменных  $(v, \mu)$ .

\*) Этот результат был обнаружен ранее при численном исследовании взаимодействия одномерных ленгмювских солитонов /5а/. При стремлении скорости к единице приближенная система уравнений оказалась интегрируемой /5б/.

Рис.6. Упругое взаимодействие Q-солитонов при  $v = 0.5, \mu = 0.95$ . Картины линий уровня соответствуют плоским сечениям, приведенным на рис.7.  $H = \mathcal{H}/\mathcal{H}_{max}$ , где  $\mathcal{H}_{max} = 2.97 = \mathcal{H}(t = 50)$ .

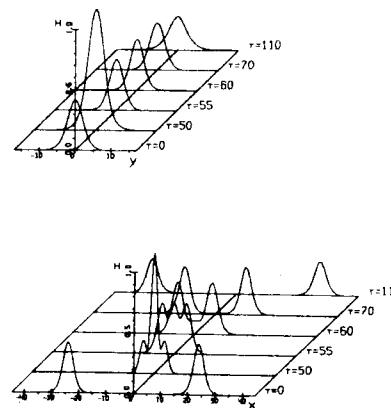
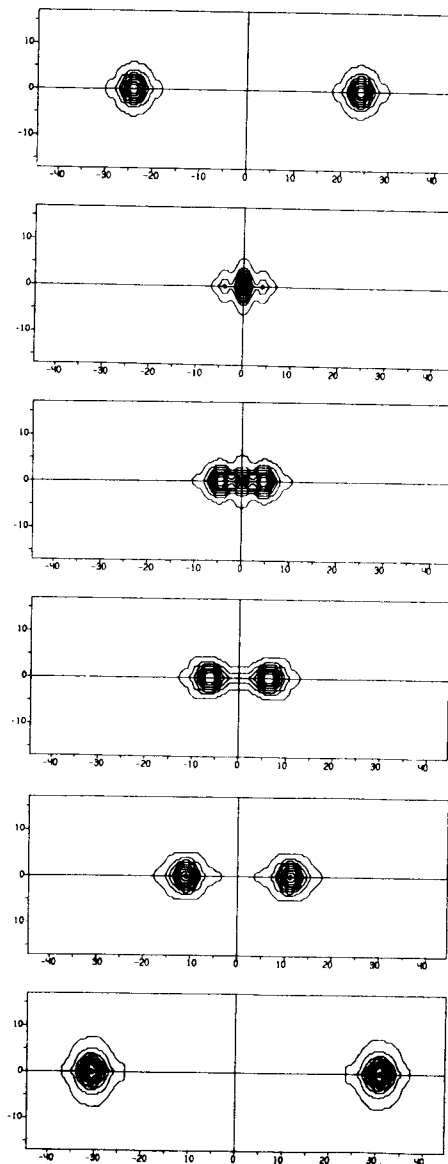


Рис.7. Упругое взаимодействие Q-солитонов при  $v = 0.5, \mu = 0.95$ .

Рис.8. Распад Q-солитонов после взаимодействия при  $\nu = 0.3, \mu = 0.95$ . Картины линий уровня соответствуют плоским сечениям, приведенным на рис. 9.  $H = \mathcal{K} / \mathcal{K}_{max}$ , где  $\mathcal{K}_{max} = 2,75 = \mathcal{K}(t=0)$

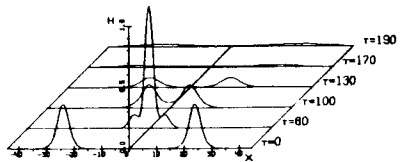
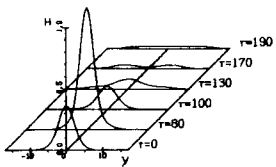
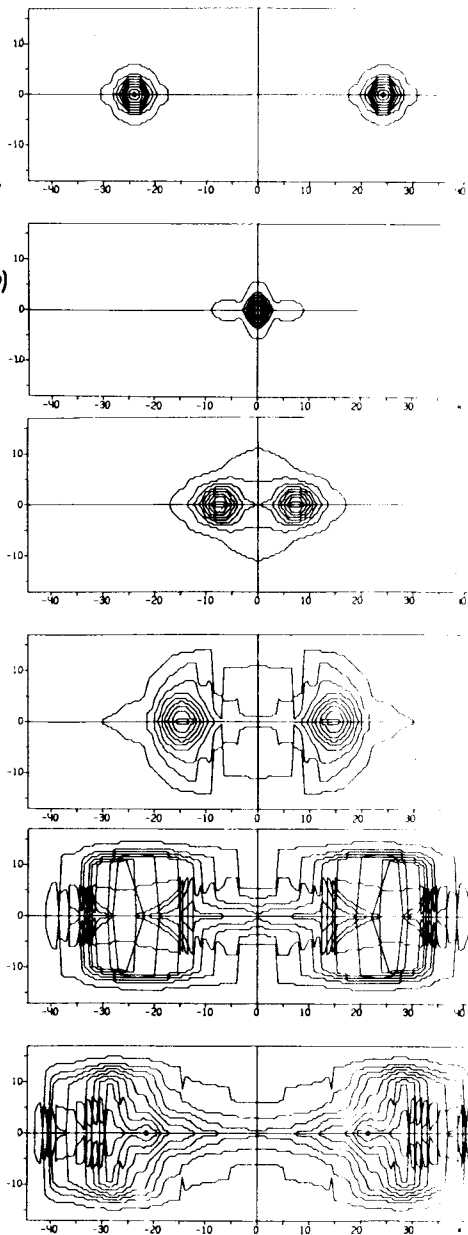


Рис.9. Распад Q-солитонов после взаимодействия при  $\nu = 0.3, \mu = 0.95$ .

Рис.10. Распад Q-солитонов через резонанс после взаимодействия при  $\nu = 0.2, \mu = 0.95$ . Картины линий уровня соответствуют плоским сечениям, приведенным на рис.11.  $H = \mathcal{K} / \mathcal{K}_{max}$ , где  $\mathcal{K}_{max} = 2,28 = \mathcal{K}(t = 120)$ .

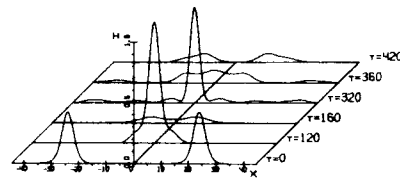
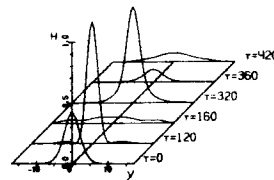
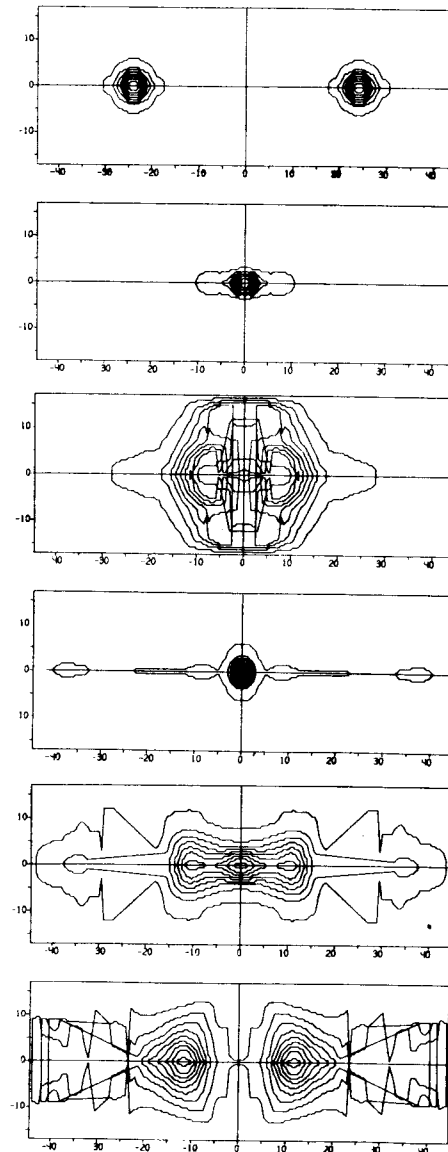


Рис.11. Распад Q-солитонов через резонанс после взаимодействия при  $\nu = 0.2, \mu = 0.95$ .



Рис.12. Связанное состояние двух Q-солитонов при  $\nu=0.1, \mu=0.7$ . Картины линий уровня соответствуют плоским сечениям, приведенным на рис.13.  $H = \mathcal{H}/\mathcal{H}_{max}$ , где  $\mathcal{H}_{max} = 12.06 = \mathcal{H}(t=87)$

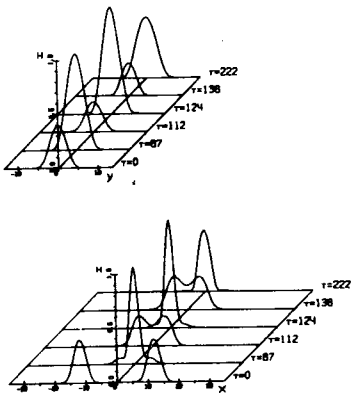
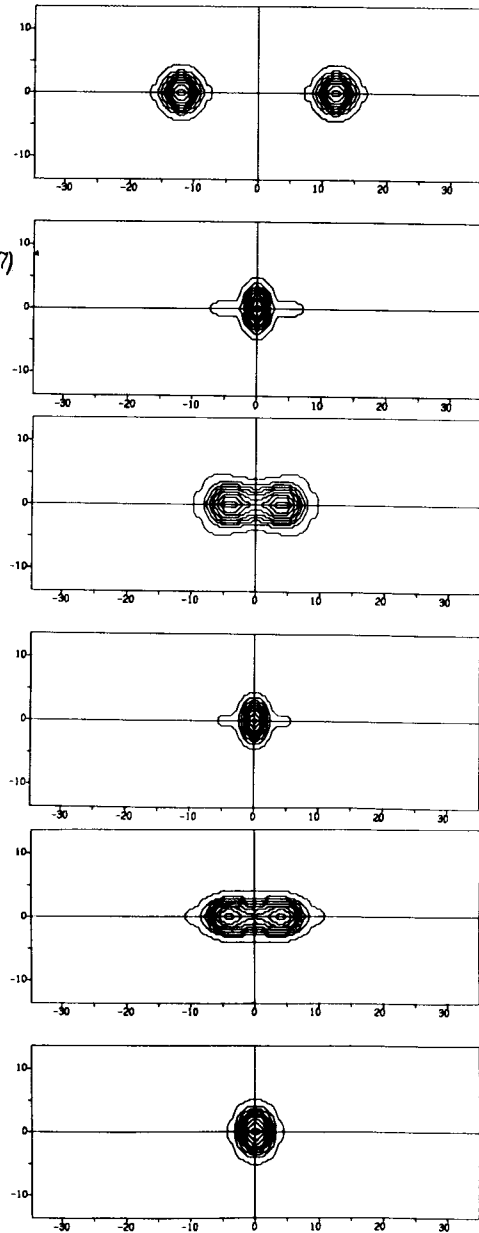


Рис.13. Связанное состояние двух Q-солитонов при  $\nu=0.1, \mu=0.7$

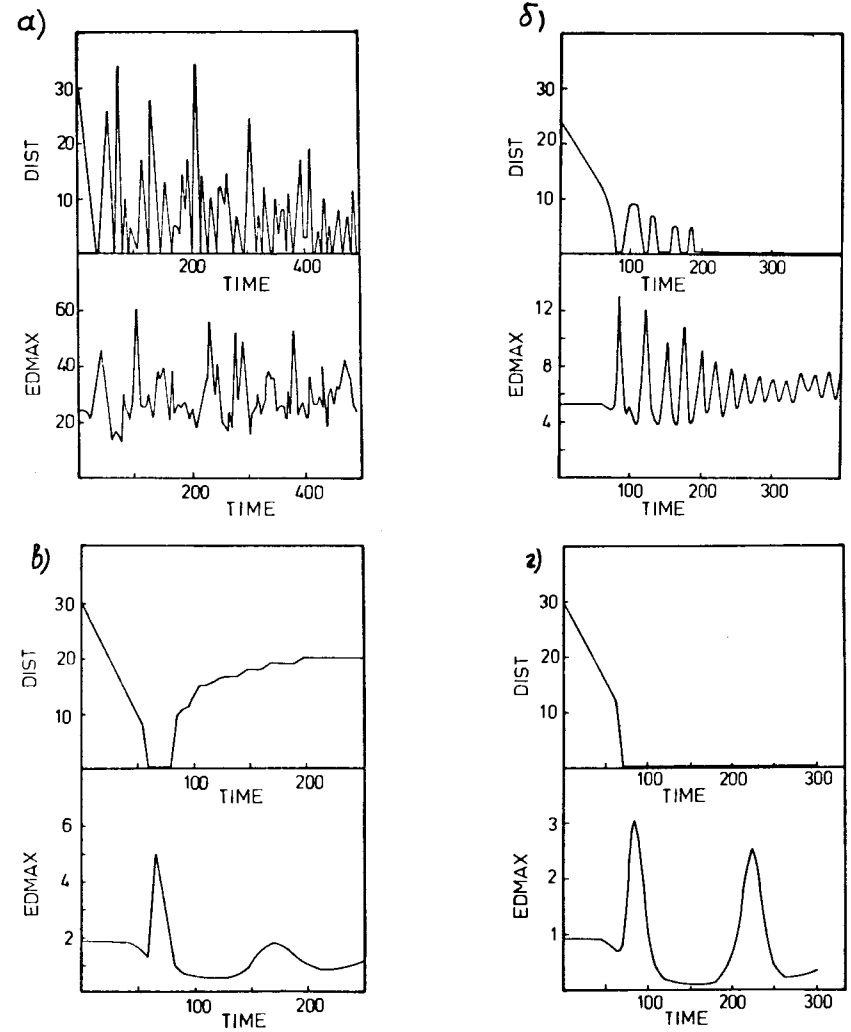


Рис.14. Связанные состояния двух Q-солитонов. Зависимость величины максимума плотности энергии системы двух солитонов ( $EDMAX = \mathcal{H}_{max}$ ) и положения максимума плотности энергии на оси X ( $DIST$ ) от времени. По оси  $DIST$  отложен номер точки разностной сетки.  
 а)  $\mu=0.2, \nu=0.3$ ; б)  $\mu=0.7, \nu=0.1$ ;  
 в)  $\mu=0.9, \nu=0.2$ ; г)  $\mu=0.95, \nu=0.15$ .

#### 4. Методика расчетов

Для решения задачи (15) в предположении (17) необходимо решить граничную задачу (18). Решение задачи (18) является функцией параметра  $\mu$ . Чтобы решить задачу (18), требуется найти такое значение  $\psi(0)$ , которое соответствует безузловому решению (18), убывающему при  $r \rightarrow \infty$  (см. рис. 2, штриховая линия). Подобрать приближенное значение  $\tilde{\psi}(0)$  для  $\psi(0)$  достаточно сложно, т.к., наряду со стационарной точкой  $\psi_1 = 0$ , потенциал (10) имеет ещё две стационарные точки  $\psi_{2,3} = \pm \sqrt{(1-\mu^2)/\mu^2}$  (причем, точка  $\psi_1 = 0$  является седловой, а  $\psi_2, \psi_3$  - долинными точками). Используя метод стрельбы, за достаточно большое время счета удается получить решения с заданной степенью точности.

Найденные нами значения  $\psi(0)$  совпадают с приведенными, например, в работе [8].

Безузловое численное решение задачи (18), убывающее при  $r \rightarrow \infty$ , аппроксимируем далее выражением вида

$$\tilde{\psi}(r) \approx \sum_{i=1}^3 \alpha_i \exp\{\beta_i (r - \delta_i)^2\} \quad (23)$$

Путем выбора коэффициентов  $\alpha_i, \beta_i$  и  $\delta_i$  удается приближать  $\tilde{\psi}(r)$  так, что для всех  $\mu$  выполняется условие

$$\max |\psi(r) - \sum_{i=1}^3 \alpha_i \exp\{\beta_i (r - \delta_i)^2\}| \leq 0.005 \cdot \tilde{\psi}(0) \quad (24)$$

Используя аппроксимацию (23) и проделав преобразование Лоренца, переходим в движущуюся со скоростью  $v$  вдоль оси  $x$  систему координат:

$$\phi(x, y, t) \approx \sum_{i=1}^3 \alpha_i \exp\{\beta_i (\sqrt{(y(x-vt))^2 + y^2} - \delta_i)^2\} * \exp\{i\mu\gamma(t-vx)\} \quad (25)$$

где  $\gamma$  - релятивистский фактор.

Наличие приближенного выражения (25), аппроксимирующего неизвестное точное решение задачи (15), позволяет исследовать динамику солитонов во встречных столкновениях.

Расчеты по исследованию взаимодействия двумерных солитонов проводились с помощью симметричной разностной схемы второго порядка точности по  $x, y$  и  $t$ , соответствующей уравнению (15). Шаг по времени выбирался равным  $\Delta t = 0.1$  и шаг по пространственным переменным  $\Delta x = \Delta y$  выбирался из интервала  $[0.1, 0.4]$  в зависимости от параметра  $\mu$ . Действительная и мнимая части функции  $\phi(x, y, t)$  вычислялись отдельно. В точках  $t = 0, 1, 2, \dots$

по формулам (4) и (16) определялась плотность энергии поля. Для контроля точности расчетов мы использовали величину

$$\epsilon_T = \frac{H_0 - H_T}{H_0} \quad (26)$$

характеризующую сохранение полной энергии системы; здесь  $H_0$  - энергия при  $t = 0$ ,  $H_T$  - энергия в момент времени  $t = T$ . Во всех расчетах максимальная величина  $|\epsilon_T| \leq 0.01$ .

Для исследования устойчивости уединенных солитонов использовались разностные аналоги уравнения (2) для одномерных  $(x, t)$  - солитонов и уравнения (15) для двумерных  $(x, y, t)$  - солитонов. Как показали расчеты, одномерные солитоны вида (14) устойчивы в широкой области значений  $v$  лишь при  $\mu \geq 0.9$ . При  $\mu < 0.9$  в процессе трансляции солитона максимальная величина плотности энергии  $\mathcal{H}_{max}$  (см. (8)) убывает, что связано с расплыванием солитона вне области устойчивости. В двумерном случае устойчивость уединенного солитона исследовалась путем его трансляции вдоль оси  $x$  на расстояние, составляющее 5-6 "ширин" солитона. Расчеты при различных  $\mu$  и  $0.2 < v < 0.9$  подтвердили устойчивость двумерных солитонов в области  $\mu < 0.98$ .

С целью устранения влияния границ области  $[x, y]$  на движение солитонов в разностные аналоги уравнений (2) и (15) вводилась искусственная вязкость на границе области  $[x, y]$  путем добавления члена  $\phi_t$ . Отметим, что член  $\phi_t$  включался в рассмотрение лишь в области, прилегающей к границе, и имеющей ширину 5% от размера области  $[x, y]$ . Наличие вязкости на границе области приводит к практически полному поглощению солитона на границе (так, в одномерном случае при  $\mu = 0.95$  и  $v = 0.8$  плотность энергии  $\mathcal{H}_{max}$  уменьшалась на границе в 50 раз по сравнению со значением  $\mathcal{H}_{max}$  вблизи границы).

Результаты расчетов с учетом вязкости на границе качественно повторяют результаты, полученные без члена  $\phi_t$  в уравнениях (2), (15). Так, например, если при  $\mu = 0.95$  и  $v = 0.2$  первый максимум плотности энергии в отсутствие члена  $\phi_t$  возникает при  $t = 120$  и равен  $\mathcal{H}_{max} = 2.28$  (см. рис. 10, 11), то с учетом  $\phi_t$  он равен  $\mathcal{H}_{max} = 2.31$ . Второй максимум плотности энергии возникает в отсутствие  $\phi_t$  при  $t = 320$  ( $\mathcal{H}_{max} = 1.79$ ), а с учетом  $\phi_t$  он возникает при  $t = 290$  ( $\mathcal{H}_{max} = 1.30$ ).

Расчеты по исследованию динамики Q-солитонов проводились на ЭВМ БЭСМ-6.

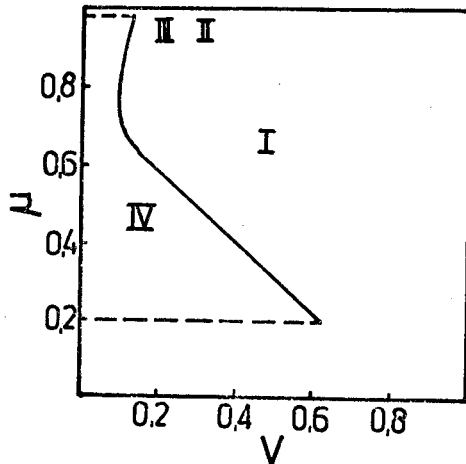


Рис. 15. Четыре типа взаимодействий  $Q$  - солитонов в плоскости переменных  $(v, \mu)$ :  
 I - упругое и слабонеупругое взаимодействия;  
 II - распад провзаимодействовавших солитонов;  
 III - распад через резонанс;  
 IV - образование связанного состояния.

### 5. Заключение

Проведенное исследование свойств  $Q$  - солитонов позволяет утверждать, что даже в рамках простой  $U(1)$  модели существует богатая картина взаимодействий, включающая распады квазичастиц, образование резонансов и связанных состояний.

В моделях с более высокими симметриями, часть из которых может быть спонтанно нарушена (см., например, <sup>13/</sup>), область устойчивости солитонов напоминает исследованную нами. Так, например, сохраняющаяся величина, соответствующая данной симметрии ( $Q$  для  $U(1)$ ,  $\vec{T}$  для  $SU(2)$  и т.д.), как функция  $\mu$  имеет минимум при  $\mathcal{D} = 3$  и плато при  $\mathcal{D} = 2$  и  $\mu \rightarrow 1$ . Полученные нами результаты позволяют надеяться, что и в этих моделях будут проявляться, по крайней мере, описанные выше четыре типа взаимодействий.

Мы благодарим И.Л.Боголюбского за стимулирующие дискуссии и М.Куммер за помощь в оформлении рукописи.